## ИНЖЕНЕРНЫЙ ВЕСТНИК

Издатель ФГБОУ ВПО "МГТУ им. Н.Э. Баумана". Эл No. ФС77-51036. ISSN 2307-0595

## Геометрическое обеспечение построения гладких сопряжений из отсеков конических поверхностей второго порядка

# 06, июнь 2015 Иванов Г. С.<sup>1</sup>, Жирных Б. Г.<sup>1,\*</sup>

УДК: 515.2

<sup>1</sup>Россия, МГТУ им. Н.Э. Баумана \*borjir@yandex.ru

Тема «Пересечение поверхностей» является одним из важных разделов учебного курса начертательной геометрии. Большое внимание здесь уделяется пересечению поверхностей второго порядка (квадрик). В общем случае они пересекаются по пространственной кривой четвертого порядка (2x2=4). В частных случаях взаимного положения квадрик линия их пересечения может распадаться в следующих вариантах:

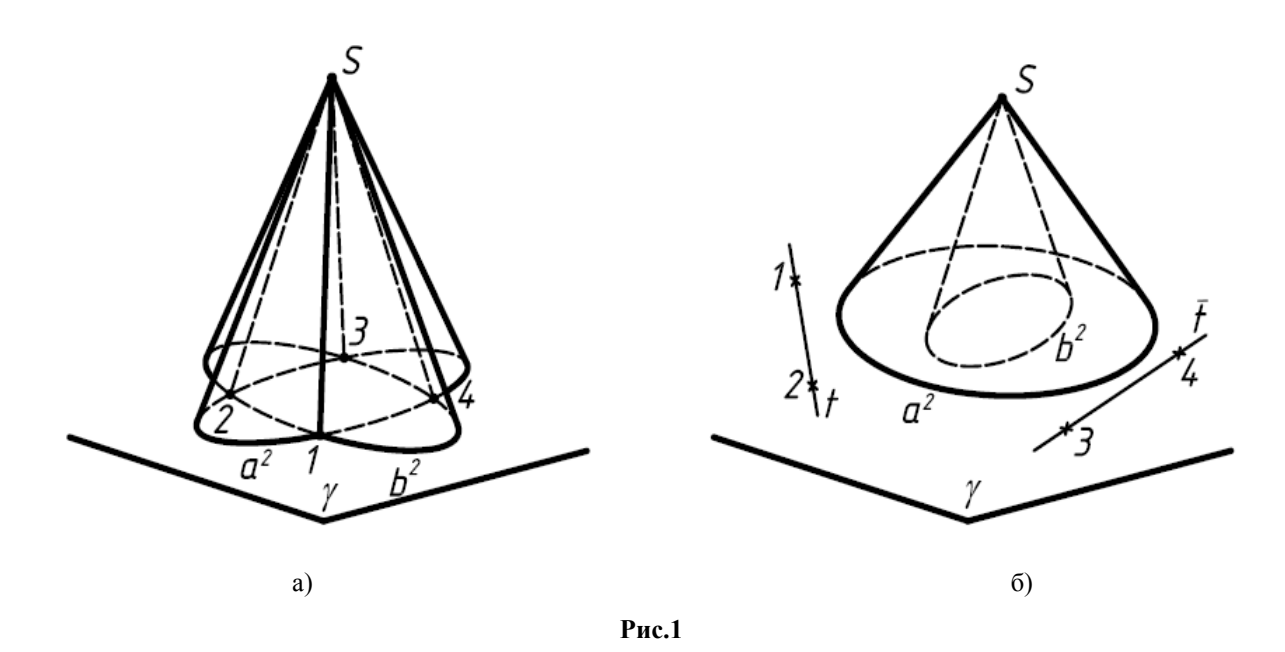
- прямая и кривая третьего порядка (нормкривая) (4=1+3);
- две прямые и кривая второго порядка (4=1+1+2);
- четыре прямые (4=1+1+1+1);
- две кривые второго порядка (4=2+2).

Первый вариант (4=1+3) подробно рассмотрен в статье [1], а четвертый вариант (4=2+2) достаточно полно освещается почти во всех учебниках начертательной геометрии:

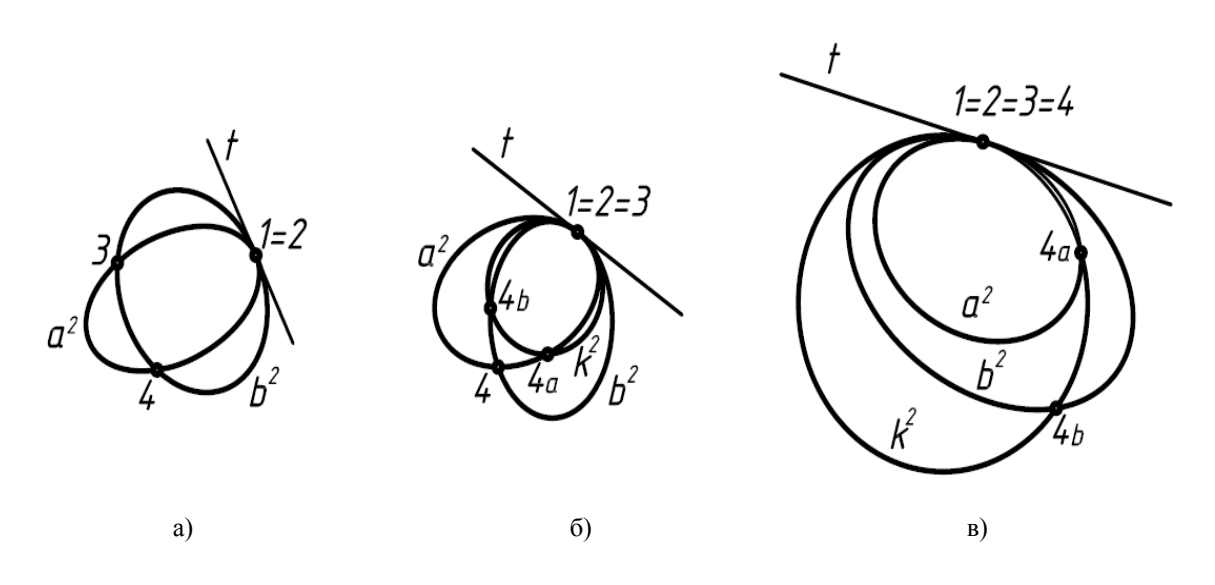
- теорема Монжа;
- теорема о двух точках соприкосновения;
- теорема о пересечении двух квадрик, инцидентных кривой второго порядка.

Второй (4=1+1+2) и особенно третий (4=1+1+1+1) варианты распадения, на первый взгляд, представляются очевидными и, по-видимому, из-за этого, не нашли подробного рассмотрения в учебниках начертательной геометрии. Задачей настоящей публикации является рассмотрение, казалось бы, самого простого варианта — распадения линии пересечения двух квадрик на четыре прямые. Эта задача приобретает прикладное значение при конструировании технических поверхностей как гладких двумерных обводов, составленных, в частности, из отсеков конических и цилиндрических поверхностей.

Общеизвестно, что этот вариант распадения имеет место при пересечении двух конических поверхностей второго порядка с общей вершиной  $\alpha(S,a^2)$ ,  $\beta(S,b^2)$ , двух цилиндрических поверхностей с параллельными образующими. Принимая направляющие  $a^2$  и  $b^2$  этих поверхностей, принадлежащими одной плоскости  $\gamma$ , имеем несколько вариантов их



Промежуточными вариантами пересечения направляющих  $a^2$  и  $b^2$  будут различные сочетания действительных и мнимо-сопряженных, различных и совпавших точек (рис.2). На рис.2.а показан вариант, когда кривые  $a^2$  и  $b^2$  имеют две совпавшие 1 и 2 и две различные 3 и 4 точки пересечения. Совпадение точек 1 и 2 графически выражается в появлении здесь их общей касательной прямой t, то есть графическим признаком двухточечного касания кривых  $a^2$  и  $b^2$  является наличие их общей касательной t.



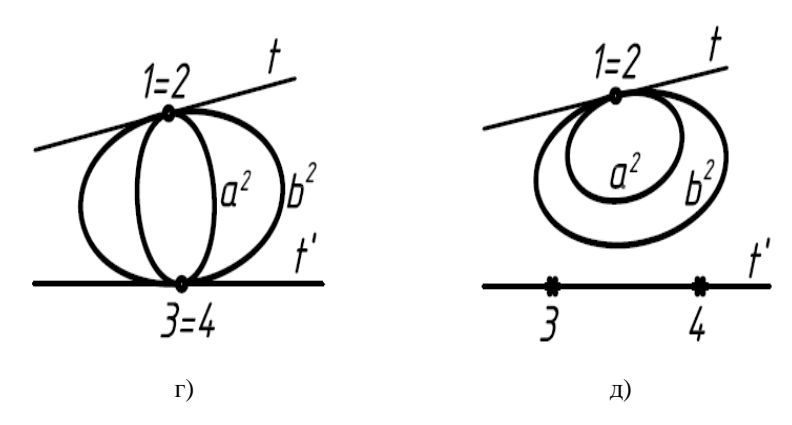


Рис.2

Существование у кривых  $a^2$  и  $b^2$  трехточечного касания 1=2=3 выражается в наличии здесь их общей касательной t и общего круга кривизны  $k^2$  (рис.2.б). Кроме этих трех совпавших точек 1=2=3 кривые  $a^2$  и  $b^2$  пересекаются еще в точке 4. Круг кривизны  $k^2$  также пересекается с каждой из кривых  $a^2$  и  $b^2$  в трех совпавших точках 1=2=3 и четвертой точке  $4_a = k \cap a$ ,  $4_b = k \cap b$ .

Кривые  $a^2$  и  $b^2$  также могут пересекаться в четырех совпавших точках 1=2=3=4 (рис.2.в). Другими словами, они могут иметь четырехточечное касание. Это выражается в существовании здесь общей касательной (равенство первых производных), общего круга кривизны (равенство первых и вторых производных) и равенство первых, вторых и третьих производных от уравнений кривых  $a^2$  и  $b^2$ . Заметим, что их общий круг кривизны с каждой из этих двух кривых второго порядка  $a^2$  и  $b^2$  имеет трехточечное касание 1=2=3 и четвертую точку пересечения:  $4_a = k \cap a$ ,  $4_b = k \cap b$ .

И, наконец, кривые  $a^2$  и  $b^2$  могут пересекаться в четырех действительных, попарно совпавших точках 1=2 и 3=4 (рис.2.г), и в двух совпавших действительных точках 1=2 и в двух мнимо-сопряженных точках 3 и 4 (рис.2.д). Как обычно, совпадение двух точек ведет к появлению здесь общей касательной этих кривых, а пересечение в мнимо-сопряженных точках — к существованию действительной прямой  $\overline{t}$ , пересекающей обе кривые в одной и той же паре мнимо-сопряженных точек 3 и 4.

Далее, возникает задача: как построить (задать) кривые  $a^2$  и  $b^2$ , имеющие рассмотренные выше возможные варианты их пересечений. Аналитический подход к решению этой задачи общеизвестен [2]:

— в уравнение кривой второго порядка

$$ax^{2} + bxy + cy^{2} + dx + ey + 1 = 0$$
 (1)

подставляются последовательно координаты заданных точек, которым инцидентна конструируемая кривая;

— дифференцируя уравнение (1), получаем формулу для вычисления его первой производной

$$y' = -\frac{2ax + by + d}{bx + 2cy + e} \tag{2}$$

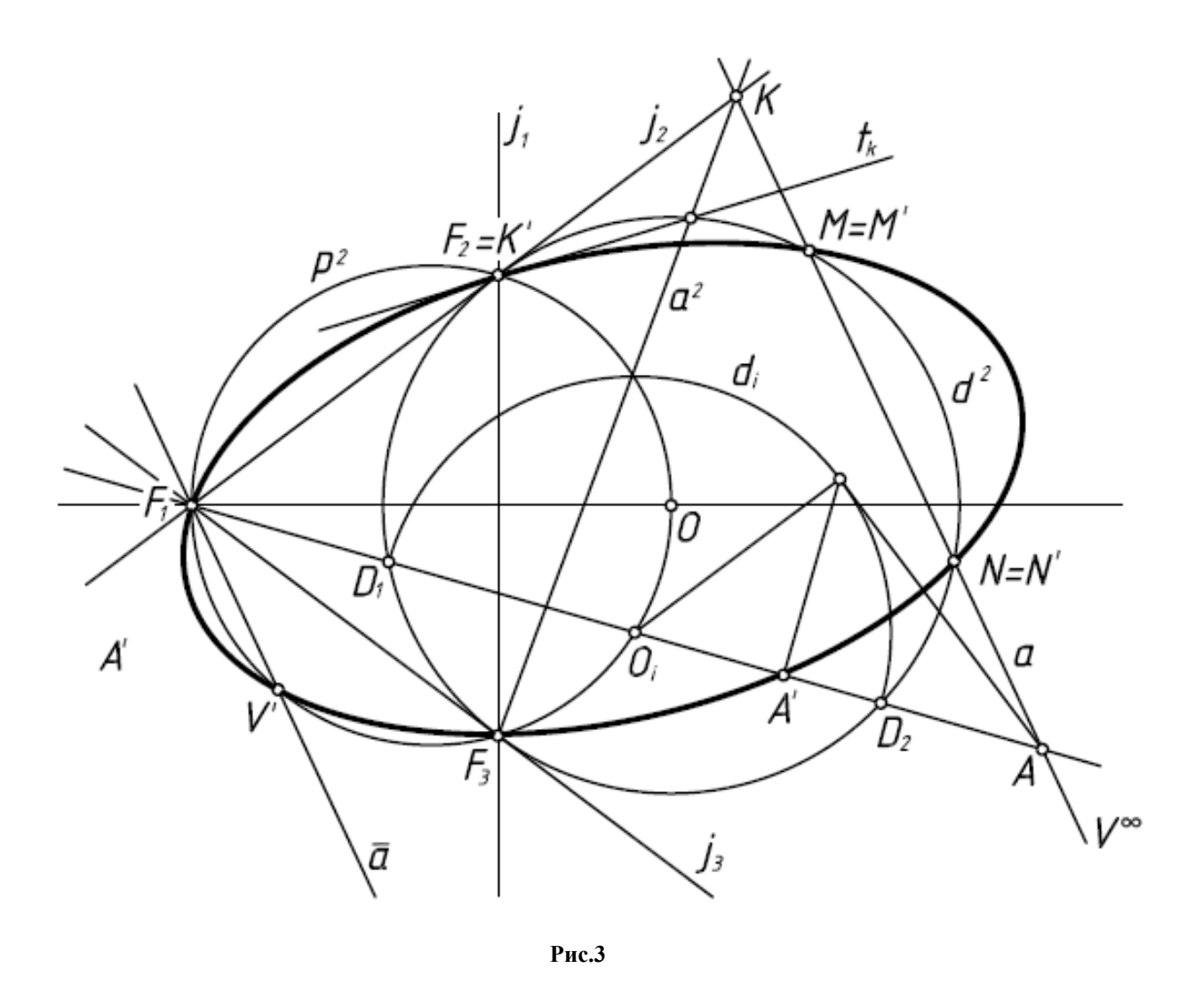
- подставляем в это уравнение значение y' углового коэффициента касательной и координаты точек касания, если в условие задания кривой входит касательная;
- если в условие задания кривой входят трех- и четырехточечные касания, то от уравнения (1) берутся соответственно вторые и третьи производные;
  - подставляются их значения и координаты данных точек.

В результате получается система из пяти уравнений с пятью неизвестными коэффициентами a, b, c, d, e. Решение этой системы определяет искомую кривую второго порядка.

Такой подход не свойственен начертательной геометрии, ибо он не основан на конструктивных построениях. Поэтому, в качестве альтернативы, можно рассмотреть проективный способ образования кривых второго порядка [3] или способ преобразований [4]. По своим возможностям оба способа равносильны. С позиций решения прикладных задач предпочтение следует отдать способу преобразований.

Наиболее простыми по своим конструктивным алгоритмам построения соответственных точек являются центральные преобразования: линейные (гомология) и квадратичные (в частности, преобразование Гирста). В гомологии кривые второго порядка строятся как образы окружности, а в преобразовании Гирста — как образы прямой. Преобразование Гирста имеет несколько специализаций своей фундаментальной системы, что позволяет конструировать все виды пучков кривых второго порядка, показанных на рис.2 [5].

Инволюционное преобразование Гирста  $J_2$  задается (рис.3) центром  $F_1$  и инвариантной (двойной) кривой второго порядка  $d^2$ . В нашем случае для простоты графических построений взята окружность  $d^2$  с центром O (рис.3). Окружность  $p^2$ , построенная на отрезке  $F_1O$  как на диаметре, называется предельной и соответствует несобственной прямой  $p^\infty$  плоскости. Прямые  $l_i \ni F_1$  преобразуются в  $J_2$  сами в себя, поэтому называются самосоответ- ственными или слабоинвариантными. Соответственные точки  $A \sim A'$  коллинейны с центром  $F_1$  и составляют гармоническую четверку с точками  $D_1$ ,  $D_2$ , где  $D_1$ ,  $D_2 = F_1A \cap d^2$ ;  $(D_1D_2AA') = -1$ .



На рис.3 показан графический алгоритм их построения:

- отмечаются точки  $D_1$ ,  $D_2$  пересечения прямой  $F_1A(F_1A')$  с инвариантной окружностью  $d^2$ ;
  - строится вспомогательная окружность  $d_i$  с центром

$$O_i$$
 = $F_IA(F_IA')\cap p^2$ , где  $D_ID_2$ — ее диаметр;

- если точка A находится вне окружности  $d_i$ , то из нее проводится касательная к  $d_i$ ; из точки касания опускается перпендикуляр на  $F_1A$ ; основание A' является соответственной точке A;
- если точка A находится внутри окружности  $d_i$  , то соответственная точка A строится в обратной последовательности.

Преобразование  $J_2$  имеет три исключенные точки  $F_1$ ,  $F_2$ ,  $F_3$ , называемые фундаментальными, или F-точками, для которых нарушается однозначность преобразования. Им, в

отличие от всех остальных точек, соответствуют прямые  $j_1, j_2, j_3$ , называемые принципиальными (P-прямыми);

- центру преобразования  $F_I$  соответствует его поляра  $j_I$  относительно  $d^2$  ;
- точкам  $F_2$  ,  $F_3$  пересечения поляры  $j_1$  с  $d^2$  соответствуют принципиальные прямые

$$F_2 \sim j_2(F_1 F_2), F_3 \sim j_3(F_1 F_3)$$

Если центр  $F_1$  находится вне  $d^2$ , то другие F-точки  $F_2$ ,  $F_3$  будут действительными различными; при  $F_1 \in d^2$  точки  $F_2$ ,  $F_3$  совпадают с  $F_1$ ; если  $F_1$  находится внутри  $d^2$ , то точки  $F_2$ ,  $F_3$  будут мнимосопряженными. F-точки  $F_2$ ,  $F_3$  совпадут, если окружность  $d^2$  распадется на две изотропные прямые (радиус окружности  $d^2$  будет равен нулю).

Произвольной прямой a плоскости в  $J_2$  соответствует кривая второго порядка  $a^2$ , проходящая через F-точки  $F_1, F_2$ ,  $F_3$  и точки  $M, N = a \cap d^2$ , которые могут быть действительными различными (см.рис.3), совпавшими, если a касается  $d^2$ , и мнимыми, если a пересекает  $d^2$  в мнимых точках. Несобственной точке  $V^\infty \in a$  соответствует точка  $V' = \overline{a} \cap p^2$ , где  $\overline{a} \ni F_1, \overline{a} \parallel a$ .

Образ  $a^2$  прямой a будет:

- эллипсом (см.рис.3), если прямая  $\boldsymbol{a}$  пересекает  $\boldsymbol{p}^2$  в мнимых точках;
- параболой, если  $\boldsymbol{a}$  касается  $\boldsymbol{p}^2$ ;
- гиперболой, если a пересекает  $p^2$  в действительных точках.

Из вышеизложенных свойств квадратичной инволюции (преобразования Гирста)  $J_2$  следует конструктивный способ построения двух кривых второго порядка  $a^2$ ,  $b^2$ , имеющих показанные на рис.2 варианты взаимного положения. Эти кривые  $a^2$ ,  $b^2$  будем конструировать как образы двух прямых a,b относительно той или иной специализации преобразования  $J_2$ .

Рассмотрим схему получения посредством  $J_2$  варианта рис.2.а взаимного положения кривых  $a^2$ ,  $b^2$  (рис. 4). Для обеспечения двухточечного касания в  $F_2$ = $F_3$  в качестве инвариантной окружности  $d^2$  берем две изотропные прямые  $d^1$ ,  $\overline{d}^1$ . Тогда предельная окружность  $p^2$  определяется диаметром  $F_1(F_2$ = $F_3$ ). В этом преобразовании любой паре пересекающихся прямых  $a \cap b = K$  соответствуют две кривые второго порядка  $a^2$ ,  $b^2$ , имеющие в точке  $F_2$ = $F_3$  общую касательную t. Она в точке  $F_2$ = $F_3$  касается  $p^2$ . Кривые  $a^2$ ,  $b^2$  дополнительно пересекаются в центре  $F_1$  инволюции  $J_2$  и в точке K'— образе точки K в  $J_2$ .

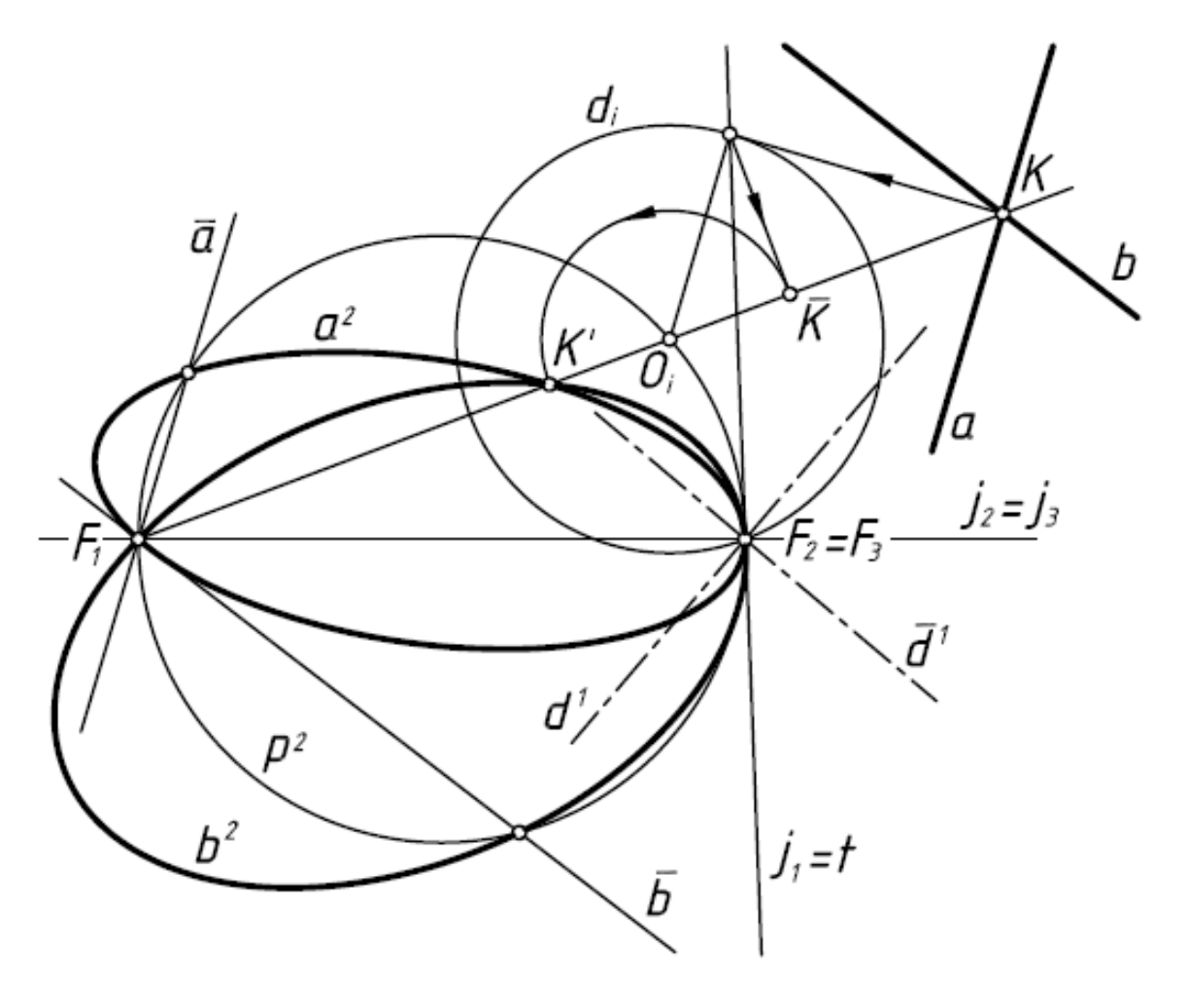


Рис.4

Здесь следует обратить внимание на алгоритм построения точки  $K \sim K'$ : в отличие от рис.3 здесь вспомогательная окружность  $d_i$  ( $O_i$ ,  $R = O_i F_2$ ) является мнимой. Поэтому точка K' строится как образ точки K в антиинверсии:

- сначала строится точка  $\overline{K} \sim K$  в инверсии относительно  $d_i$ ;
- затем строится точка K', симметричная точке  $\overline{K}$  относительно  $O_i$ . Рассмотренный выше аппарат инволюции  $J_2$  позволяет просто конструировать вариант двух двухточечных касаний кривых  $a^2$ ,  $b^2$  (рис.2.г). Для этого достаточно точку  $K=a\cap b$  взять на P-прямой  $j_1$  F-точки  $F_1$ . Тогда, в соответствии с алгоритмом инволюции  $J_2$ , точки  $F_1$  и K' совпадут и кривые  $a^2$ ,  $b^2$  будут иметь здесь общую касательную  $F_1$  K.

Последний вариант двухточечного касания кривых  $a^2$ ,  $b^2$ , когда оставшиеся две точки пересечения являются мнимо-сопряженными показан на рис.2.д. Этот вариант можно получить посредством преобразования Гирста, когда его центр  $F_1$  находится внутри инвариантной окружности  $d^2$ . В этом случае, как было отмечено выше, другие две F-точки  $F_2$ ,  $F_3$  являются мнимыми точками пересечения  $j_1 \sim F_1$  с  $d^2$ . Совпадение точек K',  $F_1$  достигается, как и в предыдущем случае, принадлежностью точки

$$K = a \cap b$$
 **P**-прямой **j**<sub>1</sub>.

Наибольший интерес с точки зрения конструирования плоских динамических обводов второго и третьего порядков гладкости [6, 7] представляют случаи трехточечного (рис.2.б) и четырехточечного (рис.2.в) касания кривых второго порядка.

Эти варианты касания кривых  $a^2$ ,  $b^2$  получаются специализированным аппаратом преобразования Гирста, когда его центр  $F_1$  принадлежит инвариантной окружности  $d^2$ . В этом случае здесь совпадают все три F-точки  $F_1$ = $F_2$ = $F_3$ . Поэтому образы любых прямых плоскости здесь имеют трехточечное касание, т.е. общую касательную  $t = j_1$  и общий круг кривизны  $p^2$ , который (напомним!) является образом несобственной прямой этой плоскости.

Конструирование кривых  $a^2$ ,  $b^2$ , имеющих в  $F_1 = F_2 = F_3$  четырехточечное касание, также выполняется просто: точку K пересечения прообразов a, b следует взять на  $j_1$ . Тогда образ K' точки K совпадет с  $F_1 = F_2 = F_3$ , следовательно, искомые кривые  $a^2$ ,  $b^2$  будут иметь здесь четырехточечное касание.

Таким образом, все возможные варианты соприкосновения кривых второго порядка, приведенных на рис.2, получаются единым аппаратом квадратичной инволюции Гирста. В данной публикации изложены лишь теоретические основы решения сформулированной задачи. Детально эти вопросы применительно к конструированию плоских гладких обводов рассмотрены в [4]. Теперь эти алгоритмы естественным образом обобщаются на конструирование гладких двумерных обводов из отсеков плоскостей, конических и цилиндричских поверхностей.

## Список литературы

- 1. Иванов Г.С. Нормкривая трехмерного пространства как частный случай пересечения двух квадрик. В 3-х т. т.2. // Труды XXII международной научно-технической конференции «Информационные средства и технологии» (18 20 ноября 2014 г.) М.: МЭИ. 2014. С. 51-56
- 2. Савелов А.А. Плоские кривые. Систематика, свойства, применения: Справочное руководство. М.: Физматлит. 1960. 294 с.
- 3. Четверухин Н.Ф. Проективная геометрия: учебник для вузов. 8-е изд. М.: Просвещение. 1969. 368 с.
- 4. Иванов Г.С. Конструирование технических поверхностей. (математическое моделирование на основе нелинейных преобразований). М.: Машиностроение. 1987. 192 с.
- 5. Иванов Г.С. Пучки конических сечений на основе преобразования Гирста. // Краткое содержание и тезисы докладов научно-метод. конференции по прикладной геометрии и инженерной графике. Казань: КИСИ. 1967. С. 28-29
- 6. Иванов Г.С. Конструирование обводов точек на основе квадратичной инволюции. // Известия ВУЗов. Машиностроение. 1969. № 2. С. 5-9
- 7. Иванов Г.С. Исследование обводов конструируемых посредством кремоновых инволюций. // Известия ВУЗов. Машиностроение. 1971. № 10. С. 61-64